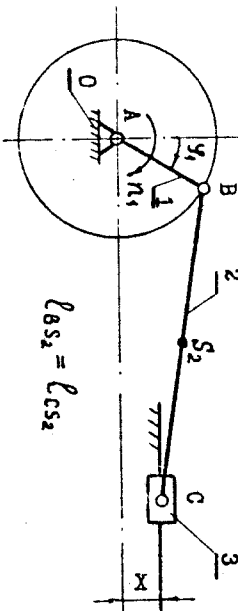


Варианты задания № 1  
 КИНЕМАТИЧЕСКОЕ И СИЛОВОЕ ИССЛЕДОВАНИЕ  
 ПЛОСКОГО РЫЧАТОГО МЕХАНИЗМА



№ Группы	1	2	3	4	5
$n_1$ , об/мин	300	400	500	600	700
$\varphi_1$ , град.	30	60	120	150	190
№ пар.	$\ell_{AB}$ , м	$\ell_{BC}$ , м	$x$ , м	$m_1$ , кг	$m_2$ , кг
1	0,03	0,07	0,005	2	1,5 0,001
2	0,03	0,075	0,005	2	1,5 0,0012
3	0,03	0,08	0,005	2	1,5 0,0013
4	0,03	0,085	0,005	2	1,5 0,0014
5	0,03	0,09	0,005	2	1,5 0,0015
6	0,035	0,08	0,01	3	2,0 0,0016
7	0,035	0,083	0,01	3	2,0 0,0017
8	0,035	0,09	0,01	3	2,0 0,0018
9	0,035	0,095	0,01	3	2,0 0,0019
10	0,035	0,1	0,01	3	2,0 0,0020
11	0,04	0,09	0,015	4	3,0 0,0021
12	0,04	0,095	0,015	4	3,0 0,0022
13	0,04	0,1	0,015	4	3,0 0,0023
14	0,04	0,105	0,015	4	3,0 0,0024
15	0,04	0,11	0,015	4	3,0 0,0025

# Bap.	$\ell_{ab}$ , M	$\ell_{sc}$ , M	X , M	$m_2$ , KT	$m_3$ , KT	$\gamma_{S_2, KT, M^2}$
16	0,045	0,095	0,018	4,5	4,0	0,0026
17	0,045	0,10	0,018	4,5	4,0	0,0027
18	0,045	0,105	0,018	4,5	4,0	0,0028
19	0,045	0,11	0,018	4,5	4,0	0,0029
20	0,045	0,115	0,018	4,5	4,0	0,0030
21	0,05	0,11	0,020	5,0	4,5	0,0031
22	0,05	0,115	0,020	5,0	4,5	0,0032
23	0,05	0,12	0,020	5,0	4,5	0,0033
24	0,05	0,125	0,020	5,0	4,5	0,0034
25	0,05	0,13	0,020	5,0	4,5	0,0035
26	0,055	0,135	0,020	6,0	5,0	0,0036
27	0,055	0,140	0,020	6,0	5,0	0,0037
28	0,055	0,140	0,020	6,0	5,0	0,0038
29	0,055	0,140	0,020	6,0	5,0	0,0039
30	0,055	0,140	0,020	6,0	5,0	0,0040

## 2. КИНЕМАТИЧЕСКОЕ И СИЛОВОЕ ИССЛЕДОВАНИЕ ПЛОСКОГО РЫЧАЩНОГО МЕХАНИЗМА

В практике мелиоративного производства часто бывает необходимо выбрать механизм из числа существующих, причем из ряда возможных вариантов - наилучший. Для этого инженер должен исследовать различные типы механизмов с целью выявления новых изменений их основных кинематических и силовых параметров, то есть провести кинематическое и силовое исследование.

Задачи кинематического исследования механизма - определение кинематических характеристик звеньев механизма /перемещение, скорость, ускорение/, при известных законах движения начальных звеньев.

Задачи силового исследования механизма - определение реакций в кинематических парах звеньев механизма, находящихся под действием заданных внешних сил. Вычисление реакции в дальнейшем могут быть использованы для расчета звеньев и элементов кинематических пар на прочность и долговечность.

При кинематическом исследовании плоских рычажных механизмов достаточно удобен и нагляден графометрический метод планов скоростей и ускорений.

При силовом исследовании широко применяется метод планов сил /для нахождения реакций в кинематических парах и равновесияющей силы  $R^*$ / и метод "жесткого" рычага Н.Е.Бутовского /для нахождения только  $R^*$ /.

Эти методы и будут нами использоваться в данной работе.

Кинематическое и силовое исследование проведем на примере плоского нецентрального кривошипно-ползунного механизма.

План. 1. Размеры звеньев механизма.  $\ell_{AB} = 0,03$  м.,  $\ell_{BC} =$

0,08 м.,  $X = 0,01$  м.

2. Массы звеньев  $m_2 = 3$  кг.,  $m_3 = 2$  кг /массой

крышкиши - звена 1 - пренебрегаем/.

3. Кривошлип АВ вращается с постоянной частотой вращения  $n_1 = 400$  об/мин или  $\omega_1 = \pi n_1 / 30 = 3,14 \cdot 400 / 30 = 41,9$  л/с.

4. Положение звеньев механизма, для которого прово-

дим исследование, определяется углом поворота кривошипа  $\gamma_4$ ; в нашем примере задано  $\gamma_4 = 30^\circ$ .

5. Момент инерции звена 2 относительно его центра тяжести /точки  $S_2/ \quad J_{S_2} = 0,005 \text{ кг} \cdot \text{м}^2$ .

6. Центры тяжести расположены на серединах звеньев.

Выполните: 1. Построить план механизма и 12 совмещенных положений механизма в выбранном масштабе  $\mu_e$ .

2. Построить траектории движения центра тяжести звена 2 /шатуна/.

3. Для заданного положения кривошипа АВ построить планы скоростей и ускорений звеньев механизма.

4. Определить силы инерции и моменты от сил инерции для каждого звена, используя для этого план ускорений.

5. Методом планов сил определить реакции во всех кинематических парах и уравновешивающую силу  $F_{ur}$ , приложенную к кривошипу в точке В.

6. Для проверки определить  $R^*$  методом "жесткого" ряда Н. Е. Жуковского.

## 2.1. Кинематическое исследование

Целью кинематического исследования в нашем случае является определение следующих параметров:

- траектории движения, скорости и ускорения центра тяжести шатуна /точки  $S_2/$  в определенном положении механизма;
- скорости и ускорения ползуна /точки С/;
- угловой скорости и углового ускорения шатуна.

Кинематическое исследование проводим графоаналитическим методом. Он заключается в графическом построении планов скоростей и ускорений отдельных точек механизма на основе заранее составленных векторных уравнений скоростей и ускорений звеньев.

Планок выполнены:

Построение плана механизма и его 12 совмещений показано на рис. 1.

План механизма строим в произвольно выбранном масштабе

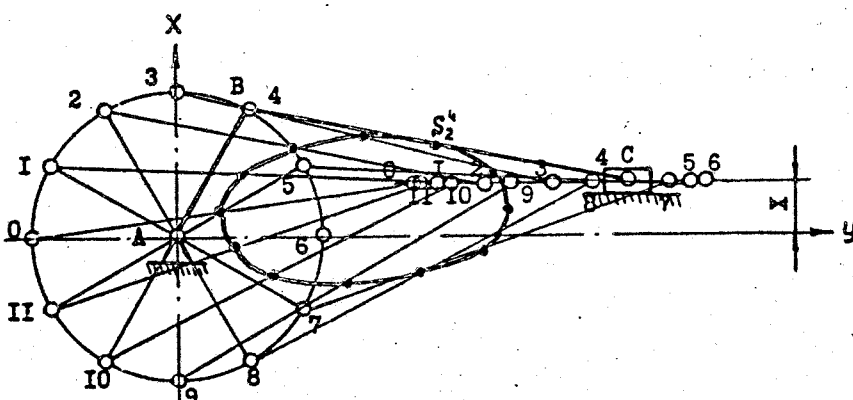


Рис. 1. Двенадцать совмещенных планов механизма

$$\mu_e = 0,001 \text{ м/мм}$$

$\mu_r = 0,01 \text{ м/мм}$ . Кривошип на плане механизма изображается отрезком  $AB = \ell_{AB} / \mu_r = 0,03 / 0,001 = 30 \text{ мм}$ . На чертеже на-  
осим точку A – ось вращения кривошипа – и вокруг нее проводим окружность радиусом  $AB = 30 \text{ мм}$ . Это есть траектория движения точки B. Через точку A проводим координатные оси X и Y. Проводим линию горизонтальную движения ползуна, отстоящую от оси Y на расстоянии  $x = X / \mu_r = 0,01 / 0,001 = 10 \text{ мм}$ . Целим скре-  
постью радиуса AB на 12 разных частей, получив точки  $B_1, B_2, \dots$

..B12. Методом засечек определяем положение ползуна /точки C/, соответствующие положению точек  $B_1, B_2$  и т.д. кривошипа. Для этого вычисляем длину шестерни на плане механизма:  $BC = \ell_{BC} / \mu_r = 0,08 / 0,001 = 80 \text{ мм}$ ; используя циркуль с раствором, равным 80 мм, засечками из  $B_1, B_2$  и т.д. наносим на линию движения получена положения точек  $C_1, C_2$  и т.д. Соединив прямыми точку A с точками  $B_1, B_2$  и т.д., а последние с точками  $C_1, C_2$  и т.д., получаем 12 совмещенных планов механизма.

Строим траектории движения точки  $S_2$  – центра тяжести ша-  
тuna /звена 2/. Для этого на плане механизма наносим на сер-  
единах отрезков  $B_1C_1, B_2C_2$  и т.д. точки  $S_2^1, S_2^2, S_2^3$  и т.д. и  
соединим их плавной кривой. Эта кривая и является траекторией  
движения точки  $S_2$ .

#### Построение плана скоростей механизма

План скоростей строим для такого положения механизма, ког-  
да кривошип AB повернут на  $30^\circ / \gamma_1 = 30^\circ$ . Это положение ме-  
ханизма на плане показано более толстыми линиями /рис.1/.

Вычисляем скорость точки В звена 1:

$$\bar{v}_B = \ell_{AB} \cdot \omega_1 = 0,03 \cdot 41,9 = 1,26 \text{ м/с.}$$

Скорость  $\bar{v}_C$  точки C определяем графическим построением сле-  
дующего второго уравнения:

$$\bar{v}_C = \bar{v}_B + \bar{v}_{CB}.$$

где  $\bar{v}_B = 1,26 \text{ м/с}$  и направлена перпендикулярно звену AB;

звезда направлена перпендикулярно звену BC, но неизвестна по  
величине.  
Из произвольно выбранного полюса P, перпендикулярно AB прово-  
дим отрезок  $P_B$  произвольной линии /рис.2б/. В нашем примере

$R_v B = 50 \text{ мм}$ . Тогда масштаб плана скоростей

$$\mu_v = \bar{v}_B / R_v B = 1,26 / 50 = 0,025 \text{ м/с.мм.}$$

Из точки B перпендикулярно звену BC проводим направление от-  
носительной скорости  $\bar{v}_{CB}$ . Через полюс  $P_v$  проводим направление от-  
носительной скорости ползуна /звена 3/. В пересечении этих на-  
правлений получаем точку C. Вектор  $R_v C$  изображает скорость  $\bar{v}_C$ ,  
а вектор  $\bar{v}_B$  – скорость  $\bar{v}_{CB}$ :

$$v_C = (R_v C) \cdot \mu_v = 48,6 \cdot 0,025 = 1,21 \text{ м/с;}$$

$$v_{CB} = (\bar{v}_C) \cdot \mu_v = 25,0 \cdot 0,025 = 0,625 \text{ м/с.}$$

Здесь величины  $R_v C$  и  $\bar{v}_C$  взяты из плана скоростей в мм.  
Линовая скорость звена 2 определяется следующим образом

$$\omega_2 = \bar{v}_{CB} / \ell_{CB} = 0,08 / 0,08 = 7,91 \text{ л/с.}$$

#### Построение плана ускорений

Вычислим ускорение точки B. Любое ускорение, в т.ч. и  $\bar{a}_B$ ,  
можно разложить на две составляющие – нормальную  $a_B^n$  и танген-  
циальную  $a_B^t$ . Так как кривошип AB в нашем примере вращается  
равномерно /  $\omega_1 = \text{const.}$ , то  $a_B^n = 0$ . Тогда

$$a_B = a_B^n = \omega_1^2 \cdot \ell_{AB} = 41,9^2 \cdot 0,03 = 52,7 \text{ м/с}^2.$$

Ускорение точки C определяем геометрическим построением спо-  
дущего второго уравнения

$$\bar{a}_C = \bar{a}_B + \bar{a}_{CB} + \bar{a}_{CA}.$$

Нормальное ускорение равно

$$a_C^n = v_C^2 / \ell_{CB} = 0,625^2 / 0,08 = 4,88 \text{ м/с}^2.$$

И направлено вдоль звена 2 от точки C к точке B. Тангенциаль-  
ное ускорение  $\bar{a}_{CB}$  направлено перпендикулярно звену 2.

Из произвольно выбранного полюса  $P$  /рис.2в/ направляем  
звезду AB проводим отрезок  $P_B'$ , изображенный ускорение  $\bar{a}_B$  в  
масштабе

$$f_a = a_B / R_v B' = 52,7 / 52,7 = 1 \text{ м/с}^2.$$

Из  $B'$  параллельно звену BC проводим отрезок  $B'_C$ , изображенный  
ускорение  $\bar{a}_{CB}$ ,лина которого изчисляется та же

$$B'v = a_{cs}^t / \mu_a = 4,88 / 1,0 = 4,88 \text{ м.}$$

Из  $\pi$  проводим луч перпендикулярно звену  $B$ . Через поле сечение луча с этим направлением обозначим точкой  $C'$ . Вектор  $f_c$  изображает полное ускорение точки  $C$  –  $a_c$ , причем

$$a_c = (f_c)^t \cdot \mu_a = 20 \cdot 1,0 = 20 \text{ м/с}^2.$$

Полное ускорение точки  $C$  относительно точки  $B$  –  $a_{cs}$  изображается на плане ускорений вектором  $C'B'$ :

$$a_{cs} = (C'B') \cdot \mu_a = 43 \cdot 1,0 = 43 \text{ м/с}^2.$$

Ускорение центра тяжести звена 2 – точки  $S_2/v_{cs}$ , находящаяся на середине отрезка  $BC'$ , – определяется отрезком  $T_2S_2$  на плане ускорений. Здесь точка  $S_2$  также делит отрезок  $B'C'$  пополам

$$a_{cs_2} = (T_2S_2) \cdot \mu_a = 31 \cdot 1,0 = 31 \text{ м/с}^2.$$

Определяем угловое ускорение звена 2

$$\varepsilon_2 = a_{cs}^t / \rho_{cs} = (n_2) \mu_a / \rho_{cs} = 42,5 \cdot 1,0 / 0,08 = 531,25 \text{ 1/c}^2.$$

Величина  $n_2$  берется из плана ускорений в мм.

Направление углового ускорения  $\varepsilon_2$  определяется направлением вектора  $a_{cs}^t$ , приложенного его к точке  $C$  (рис. 2а).

## 2.2. Силовое исследование

Силовое исследование проводим только для одного положения механизма при  $\beta_1 = 30^\circ$ . Для этого закрепим его отдельно.

Определение сил инерции и моментов от сил инерции звеньев.

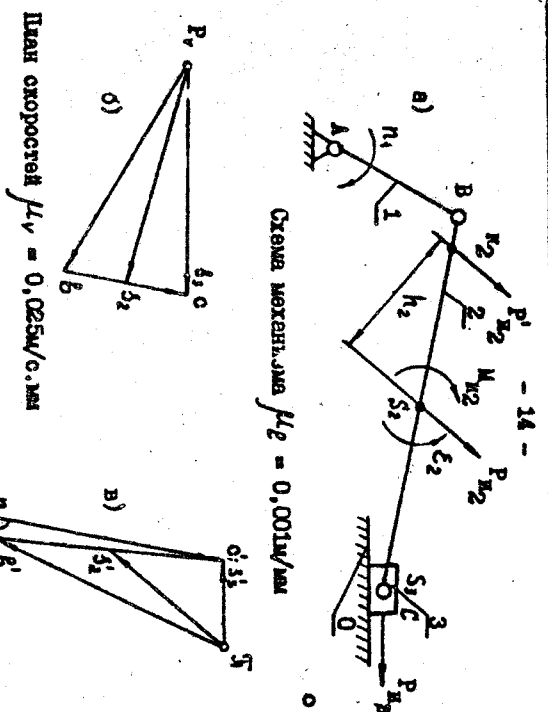
Равнодействующую всех сил инерции каждого звена, совершающего сложное движение, можно привести к силе  $R_i$ , приложенной в центре тяжести звена и направленной параллельно ускорению центра тяжести и к моменту от силы инерции  $M_i$ .

$$R_i = -m_i \cdot a_s;$$

$$M_i = -J_s \cdot \varepsilon_i.$$

Рис. II. Е. Кулакского

Рис.2



Знак "минус" означает, что  $R_{ii}$  направлена в сторону, противоположную ускорению центра тяжести звена  $S_2$ , а  $M_{ii}$  - противоположно ускорению звена  $S$ .

Величины сил инерции и моментов сил инерции для звеньев механизма в нашем примере рассчитываются следующим образом:

- для звена 2:

$$R_{ii} = -M_2 \cdot \ddot{C}_{S_2} = 3 \cdot 31,0 = 93,0 \text{ Н}; \\ M_{ii} = -J_{S_2} \cdot \ddot{\epsilon}_{S_2} = 0,005 \cdot 531,25 = 2,7 \text{ Нм}.$$

- для звена 3:

$$R_{ii} = -M_3 \cdot \ddot{C}_c = 2 \cdot 20,0 = 40,0 \text{ Н}.$$

Силы инерции на плане механизма /рис.2а/ прикладываем к центрам тяжести звеньев и направляем в сторону, противоположную ускорениям центров тяжести.

Моменты от сил инерции направлены в сторону, противоположно ускорению узловым ускорениям. В нашем случае  $M_{ii}$  - противоположно

для звена 3:

$$R_{ii} = -M_3 \cdot \ddot{C}_c = 2 \cdot 20,0 = 40,0 \text{ Н}.$$

Силы инерции на плане механизма /рис.2а/ прикладываем к центрам тяжести звеньев и направляем в сторону, противоположную ускорениям центров тяжести.

Моменты от сил инерции направлены в сторону, противоположно ускорению узловым ускорениям. В нашем случае  $M_{ii}$  - противоположно

для звена 3:

$$R_{ii} = -M_3 \cdot \ddot{C}_c = 2 \cdot 20,0 = 40,0 \text{ Н}.$$

Силу инерции  $R_{ii}$  и момент от силы инерции  $M_{ii}$  можно заменить одной равнодействующей силой, которая должна быть равна по величине и направлению той же силе  $R_{ii}$  и расположена от нее на расстоянии  $h_2 = M_{ii} / R_{ii}$  /рис.2а/. Вычисляем  $h_2$  в масштабе плана механизма:

$$h_2 = M_{ii} / R_{ii} = 2,7 / 93,0 = 0,001 = 29 \text{ мм.}$$

Перенесем силу  $R_{ii}$  из точки  $S_2$  в точку  $K_2$  /на расстояние  $h_2$ /, тем самым заменим  $R_{ii}$  и  $M_{ii}$  одной равнодействующей силой  $R_{ii}$ .

Все звенья влияют их малых значений в нашем примере не учитывают.

При проведении силового исследования механизм разбивается на структурные группы /они всегда статически определимы, то есть для них число неизвестных параметров равно числу уравнений статики/. В рассматриваемом кривошипо-ползунном механизме имеется одна структурная группа, образованная звеньями 2 и 3, и исходный механизм /звенья 1 и 0/.

Статический расчет структурной группы 2 - 3.  
Изображаем в масштабе  $\mu_C = 0,001 \text{ м}/\text{мм}$  структурную группу

К точкам  $K_2$  и  $C$  прикладываем известные силы  $R_{ii}$  и  $R_{ii}$ , перенеся их параллельно самим себе с рис.2а.

Освобождаем структурную группу 2 - 3 от связей /звеньев 0 и 1/, заменив их реакциями /рис.3/. З кинематической паре  $C$  действие звена 0 на звено 3 /ползун/ заменяем реакцией  $R_{0-3}$ . Она направлена перпендикулярно /если не учитывать трение/ движению ползуна, но по величине пока не известна.

В кинематической паре в действие звена 1 на звено 2 заменяем реакцией  $R_{1-2}$ , которая пока неизвестна ни по величине, ни по направлению. Для проведения расчета прикладываем ее на нормальную составляющую  $R_{1-2}^t$ , направленную вдоль звена  $BC$ , и тангенциальную составляющую  $R_{1-2}^n$ , направленную перпендикулярно звену  $BC$ .

Определяем  $R_{1-2}^t$  из условия равенства нулю суммы моментов всех сил, приложенных к звену 2, относительно точки  $C$ :

$$\sum M_C (R_i) = 0; R_{ii} \cdot h_{ii} - R_{1-2}^t \cdot BC = 0,$$
откуда
$$R_{1-2}^t = \frac{R_{ii} \cdot h_{ii}}{BC} = \frac{93,0}{80} = 74,4 \text{ Н.}$$

Если значение  $R_{1-2}^t$  получилось отрицательным, то на плане структурной группы эту реакцию надо направить в противоположную сторону.

Неизвестные реакции  $R_{1-2}^n$  и  $R_{0-3}$  определим графическим изображением следующего векторного уравнения, которое выражает условие равенства нулю суммы всех сил, приложенных к структурной группе 2 - 3:

$$\sum R_i = 0; \bar{R}_{1-2}^n + \bar{R}_{1-2}^t + \bar{R}_{ii} + \bar{R}_3 \cdot \bar{R}_{0-3} = 0.$$

Графическое изображение этого векторного уравнения называется планом сил и представляет собой замкнутый векторный многоугольник. Составляя он в такой последовательности /рис.3/.

Вычисляем масштаб плана сил

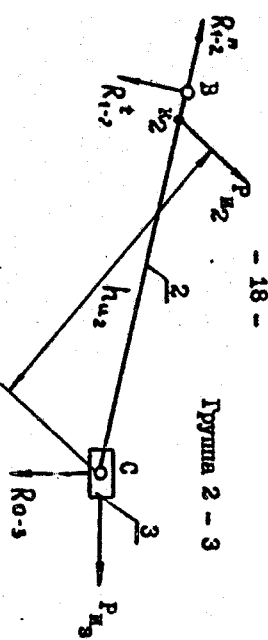
$$\mu_p = \frac{R_{1-2}^t}{Z_{1-2}^t} = \frac{74,4}{37,2} = 2 \text{ Н}/\text{мм}.$$

Здесь  $Z_{1-2}^t$  - отрезок, изображающий на плане сил реакцию  $R_{1-2}$ ; длина его выбирается произвольно. Вычисляем длины векторов

поров, изображаемых оставные силы:

$$\bar{Z}_{u_4} = \frac{\bar{P}_{u_3}}{\mu_p} = \frac{93,0}{2} = 46,5 \text{ мм};$$

$$Z_{u_3} = \frac{P_{u_3}}{\mu_p} = \frac{40,0}{2} = 20,0 \text{ мм}.$$



- 18 -

### Группа 2 - 3

План сил группы 2 - 3  
 $\mu_p = 2 \text{ Н/мм}$

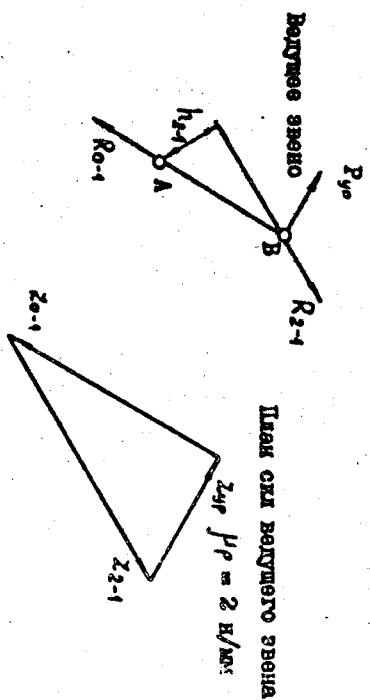
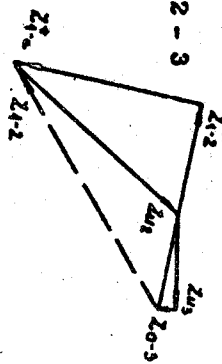


Рис.3

Из произвольно выбранной точки проводится вектор  $Z_{1-2}^t$  длиной 37,2 мм, направленный параллельно силе  $R_{1-2}$ . Из конца этого вектора проводится вектор  $Z_{1-2}$  длиной 46,5 мм и направленный параллельно силе  $R_{1-2}$ . Из конца вектора  $Z_{1-2}$  проводится вектор  $Z_{0-3}$  длиной 20,0 мм и направленный параллельно силе  $R_{0-3}$ . Из конца вектора  $Z_{0-3}$  проводится прямая, параллельная силе  $R_{1-2}$ . Точка их начала вектора  $Z_{1-2}$  — прямая параллельная силе  $R_{1-2}$  и  $Z_{0-3}$  сопрересечения определяет начало и конец векторов  $Z_{1-2}^n$  и  $Z_{0-3}^n$  соответственно. Геометрически складная векторы  $Z_{1-2}^n$  и  $Z_{0-3}^n$  получаем полную реакцию в "kinematickoye" паре B, численная величина которой равна

$$R_{1-2} = Z_{1-2} \cdot \mu_p = 61,0 \cdot 2 = 122 \text{ Н.}$$

Вычисляем величину реакции  $R_{0-3}$ :

$$R_{0-3} = Z_{0-3} \cdot \mu_p = 4,0 \cdot 2 = 8 \text{ Н.}$$

Силовой расчет ведущего звена 1 /крайница/

Изображаем в заданном масштабе и положении криволинии AB /рис.3/. К точке B прикладываем реакцию  $R_{2-1} = -R_{1-2}$  и уравнение силу  $P_{u_3}$ , величину которой определяем из условия равенства нулю суммы моментов всех сил, приложенных к этому звену, относительно точки A:

$$\sum M_A (P_i) = 0; P_{u_3} \cdot AB = R_{2-1} \cdot h_{2-1} = 0,$$

откуда

$$P_{u_3} = \frac{R_{2-1} \cdot h_{2-1}}{AB} = \frac{120 \cdot 14}{30} = 56,0 \text{ Н.}$$

Реакции  $R_{0-1}$  определяем графическим построением векторного уравнения, описываемого условие равенства нулю суммы всех сил, приложенных к звену 1:

$$\bar{P}_{u_3} + \bar{R}_{2-1} + \bar{R}_{0-1} = 0.$$

Используя это уравнение, строим план сил звена 1 в произвольно выбранном масштабе /рис.3/. Для нашего примера выбираем

$\mu_p = 2 \text{ Н/мм}$ . Проводим вектор  $\chi_{2-1}$ , параллельный вектору  $\chi_{1-2}$ , но в противоположную сторону направленный. Через конец этого вектора проводим линию перпендикулярно звену АВ, а через начало - параллельно звену АД. Пересечение этих прямых определяет длины векторов  $\chi_{up}$  и  $\chi_{0-1}$ :

$$R_{0-1} = \chi_{0-1} \cdot \mu_p = 51,0 \cdot 2 = 102 \text{ Н.}$$

Определение уравновешивающей силы методом Кулонского

Строим в произвольном масштабе план скоростей /рис.2г/, повернув его на  $90^\circ$  в любую сторону. Переносим на этот план скоростей в соответствующие точки, определяемые с использованием теоремы Лобатта, все силы, действующие на звенья механизма. В точку повернутого плана скоростей переносим уравновешивающую силу  $R_p^*$ .

Составляем уравнение равенства кратных суммы моментов всех сил относительно полюса плана скоростей  $P_v$ :

$$R_p^* \cdot (P_v \cdot b) - P_{k_2} \cdot h'_2 - P_{k_3} \cdot (P_v \cdot c) = 0.$$

$$\text{Откуда } R_p^* = \frac{P_{k_2} \cdot h'_2 + P_{k_3} \cdot (P_v \cdot c)}{P_v \cdot b} = \frac{93,11 + 40,46,5}{50} = 57,7 \text{ Н.}$$

Средним значения  $R_p$ , полученные методом планов сил и методом Н.В.Куловского:

$$\frac{R_p^* - R_{up}}{R_p^*} \cdot 100\% = \frac{57,7 - 58}{57,7} \cdot 100\% = 2,9\%.$$

Так как в инженерных расчетах обычно допускается ошибка в пределах 5%, то полученный результат является вполне удовлетворительным.

### 3. РАЧУТ И ПОСТРОЕНИЕ ПРОФИЛЯ ЗАДЕШЕНИЯ ПАРЫ ЗУБЧАТЫХ КОЛЕС

Дано: 1. Число зубьев пары зубчатых колес  $z_1 = 18$ ,  $z_2 = 20$ .

2. Модуль зацепления  $m = 12 \text{ мм}$

3. Угол зацепления  $\delta_w = 20^\circ$

4. Частота вращения шестерни  $n_1 = 400 \text{ об/мин.}$